

# O Problema do Caminho Positivo Mínimo

Felipe Albuquerque<sup>1,2</sup>, Manoel Campêlo<sup>1</sup>, Tatiane Figueiredo<sup>2</sup>

<sup>1</sup> ParGO, Departamento de Computação – Universidade Federal do Ceará (UFC)

<sup>2</sup>NEMO, Departamento de Computação – Universidade Federal do Ceará (Campus Russas)

felipealb@alu.ufc.br, mcampelo@lia.ufc.br, tatianefernandes@ufc.br

**Abstract.** Signed graphs are graphs where each edge/arc is assigned a positive or negative label. A path is positive if it has an even number of negative edges/arcs. We present polynomial time algorithms for finding a minimum weight positive path in undirected signed graphs. We show that the problem becomes NP-hard in signed digraphs even for unit weights.

**Resumo.** Grafos de sinais são grafos onde a cada aresta/arco é associado um rótulo positivo ou negativo. Um caminho é positivo se contém um número par de arestas/arcs negativos. Apresentamos algoritmos polinomiais para encontrar um caminho positivo de peso mínimo em grafos de sinais não direcionados. Mostramos que o problema se torna NP-Difícil em digrafos de sinais, mesmo com pesos unitários.

## 1. Introdução

Seja  $G = (V, E^+ \cup E^-)$  um grafo de sinais, onde  $V$  é o conjunto de vértices,  $E^+$  e  $E^-$  são os conjuntos de arestas (ou arcos) positivas e negativas, respectivamente. Dado um subgrafo  $H$  em  $G$ , seja  $E^+(H)$  (resp.  $E^-(H)$ ) o conjunto de arestas de  $H$  em  $E^+$  (resp.  $E^-$ ). O sinal de  $H$  é o produto dos sinais de suas arestas, quer dizer,  $H$  é positivo (resp. negativo) se  $|E^-(H)|$  é par (resp. ímpar). Denote por  $\mathcal{P}^+$  (resp.  $\mathcal{P}^-$ ) o conjunto de todos os caminhos positivos (resp. negativos) em  $G$ .

Considere uma função de pesos  $w : E^+ \cup E^- \rightarrow \mathbb{R}_+$  definida sobre as arestas. Seja  $w(P)$  o peso de um caminho  $P$  em  $G$ . Dados  $u, v \in V$ , seja  $\delta_+(u, v)$  (resp.  $\delta_-(u, v)$ ) o menor peso de um caminho positivo (resp. negativo) entre  $u$  e  $v$ . Esse valor é  $+\infty$ , caso tal caminho não exista. Quando os pesos são unitários,  $\delta_+(u, v)$  (resp.  $\delta_-(u, v)$ ) é tamanho do menor caminho positivo (resp. negativo) entre  $u$  e  $v$ . Caminhos positivos de tamanho mínimo foram usados para definir relações de compatibilidade entre indivíduos para pertencerem a uma mesma equipe de trabalho [Kouvatis et al. 2020, Albuquerque et al. 2022]. Tais noções de compatibilidade se baseiam na teoria do balanço social [Heider 1946, Cartwright and Harary 1956].

Estudamos aqui os problemas de determinar um menor caminho positivo em  $G$  e um caminho positivo de peso mínimo em  $G$ . Apresentamos algoritmos polinomiais para ambos os problemas. Consideramos na Seção 2 o caso em que  $G$  não possui ciclos negativos; na Seção 3, abordamos o caso geral. Adicionalmente, na Seção 4, mostramos que a versão destes problemas para digrafos é NP-Difícil. Vale observar que os problemas com respeito a caminhos negativos são equivalentes aos correspondentes para caminhos positivos.

## 2. Algoritmo para grafos balanceados

Um grafo de sinais não direcionado  $G$  é dito *balanceado* se não contém ciclo com número ímpar de arestas negativas [Cartwright and Harary 1956]. Nesta seção, admita que  $G$  é balanceado. Mostramos que a adaptação do algoritmo de Dijkstra mostrada no Algoritmo 1 resolve o problema de encontrar um caminho positivo de peso mínimo. Esse algoritmo é uma reescrita do procedimento apresentado em [Guler et al. 2014]. Abaixo, provamos sua corretude, não exibida em [Guler et al. 2014, Guler et al. 2015]. No que segue, dado  $\sigma \in \{-, +\}$ , denotamos por  $\bar{\sigma}$  o sinal complementar, ou seja,  $\{\sigma, \bar{\sigma}\} = \{-, +\}$ .

**Data:**  $G = (V, E^+ \cup E^-)$ ,  $s \in V$ ,  $w : E^+ \cup E^- \rightarrow \mathbb{R}_+$   
**Result:** Menores pesos  $d_+(v)$  de caminho positivo entre  $s$  e cada  $v \in V$

```

1  $d_+(v) = d_-(v) = +\infty \forall v \in V$ ;
2  $k = 0$  / * Marcador de iteração * /
3  $d_+(s) = 0, d_-(s) = +\infty$ ;
4  $d_\sigma(v) = w_{sv} \forall \sigma \in \{-, +\} \forall v \in V : (s, v) \in E^\sigma$ ;
5  $R_+ = R_- = \{s\}$ ;
6 while  $R_+ \neq V$  do
7    $k = k + 1$ ;
8    $\epsilon_\sigma = \inf\{d_\sigma(u) : u \in V \setminus R_\sigma\} \forall \sigma \in \{-, +\}$ ;
9   if  $(\epsilon_+ \neq +\infty) \parallel (\epsilon_- \neq +\infty)$  then
10    Seja  $\sigma \in \{-, +\}$  tal que  $\epsilon_\sigma = \min\{\epsilon_-, \epsilon_+\}$ ;
11    Seja  $u \in V \setminus R_\sigma$  tal que  $d_\sigma(u) = \epsilon_\sigma$ ;
12     $R_\sigma = R_\sigma \cup \{u\}$ ;
13     $d_\sigma(v) = \min\{d_\sigma(v), d_\sigma(u) + w_{uv}\} \forall v \in V \setminus R_\sigma : (u, v) \in E^+$ ;
14     $d_{\bar{\sigma}}(v) = \min\{d_{\bar{\sigma}}(v), d_\sigma(u) + w_{uv}\} \forall v \in V \setminus R_{\bar{\sigma}} : (u, v) \in E^-$ ;
15  else
16     $R_+ = V, R_- = V$ ;
17  end
18 end

```

**Algorithm 1:** Algoritmo para o caminho positivo mínimo.

**Lema 1.** *Em cada iteração  $k$  do algoritmo, para todo  $\sigma \in \{-, +\}$  e todo  $v \in V$ , se  $d_\sigma(v) < \infty$  então existe caminho em  $\mathcal{P}^\sigma$  entre  $s$  e  $v$ .*

*Indução sobre  $k$ .* Para  $k = 0$ , o resultado é trivial. Suponha-o verdadeiro até a iteração  $k - 1$ . Na iteração  $k$ , é suficiente considerar  $\varsigma \in \{-, +\}$  e  $v \in V$  tais que  $d_\varsigma(v)$  tornou-se finito. Isso ocorre no passo 13 com  $\varsigma = \sigma$  ou no passo 14 com  $\varsigma = \bar{\sigma}$ . Devemos mostrar que existe caminho em  $\mathcal{P}^\varsigma$  entre  $s$  e  $v$ . Em ambos os casos, temos que  $d_\varsigma(v)$  era infinito e torna-se  $d_\sigma(u) + w_{uv} < +\infty$  nesta iteração. Assim, pela hipótese indutiva aplicada a  $u$ , existe caminho  $P_{su}$  em  $\mathcal{P}^\sigma$  entre  $s$  e  $u$ .

Primeiro, suponha que  $v \in V(P_{su})$ . Sejam  $P_{sv}$  e  $P_{vu}$  os dois subcaminhos de  $P_{su}$ . Então,  $P_{vu} = (v, u)$  ou  $P_{vu}$  junto com  $(u, v)$  formam um ciclo (positivo). Logo,  $P_{vu}$  tem o mesmo sinal da aresta  $(u, v)$ . Se  $\varsigma = \sigma$ , então  $(u, v) \in E^+$  e, assim,  $P_{vu} \in \mathcal{P}^+$ . Logo,  $P_{su}$  e  $P_{sv}$  têm a mesma paridade de arestas negativas, ou seja,  $P_{sv} \in \mathcal{P}^\sigma = \mathcal{P}^\varsigma$ . Caso  $\varsigma = \bar{\sigma}$ , então  $(u, v) \in E^-$  e, portanto,  $P_{vu} \in \mathcal{P}^-$ . Logo,  $P_{su}$  e  $P_{sv}$  têm paridades diferentes de arestas negativas, ou melhor,  $P_{sv} \in \mathcal{P}^{\bar{\sigma}} = \mathcal{P}^\varsigma$ . Admita agora que  $v \notin V(P_{su})$ , ou seja, que  $E(P_{su}) \cup \{(u, v)\}$  induz um caminho  $P_{sv}$  entre  $s$  e  $v$ . Se  $(u, v) \in E^+$ , ou ainda,  $\varsigma = \sigma$ , então  $P_{sv} \in \mathcal{P}^\sigma = \mathcal{P}^\varsigma$ . Se  $(u, v) \in E^-$ , isto é,  $\varsigma = \bar{\sigma}$ , então  $P_{sv} \in \mathcal{P}^{\bar{\sigma}} = \mathcal{P}^\varsigma$ .  $\square$

**Proposição 1.** *Em cada iteração do algoritmo, temos  $d_\sigma(v) = \delta_\sigma(s, v)$ , para todo  $\sigma \in \{-, +\}$  e todo  $v \in R_\sigma$ . Como  $R_+ = V$  ao final do algoritmo, sua corretude segue.*

*Demonstração.* Primeiro observe que  $d_\sigma(v)$ , para cada  $\sigma \in \{-, +\}$  e  $v \in V$ , é não crescente ao longo das iterações e, tão logo  $v$  entre em  $R_\sigma$ , esse valor permanece inalterado. Vamos chamar essa propriedade de PNC – Propriedade Não Crescente.

A prova será por indução sobre o número  $k$  da iteração. Para  $k = 0$ , temos  $R_+ = R_- = \{s\}$  e, trivialmente,  $d_+(s) = 0$ ,  $d_-(s) = \infty$ . Ver linhas 3 e 5. Suponha que o resultado vale até a iteração  $k - 1$ . Considere agora a iteração  $k \geq 1$ . Por PNC, é suficiente considerar o vértice  $u$  adicionado a  $R_\sigma$ ,  $\sigma \in \{-, +\}$ , nesta iteração. Note que  $u \neq s$ . Por conveniência, defina  $R'_-$  e  $R'_+$  os conjuntos  $R_-$  e  $R_+$  na iteração  $k - 1$ .

Se não existe caminho em  $\mathcal{P}^\sigma$  entre  $s$  e  $u$ , então  $d_\sigma(u) = +\infty$  pelo Lema 1. Portanto,  $d_\sigma(u) = \delta_\sigma(s, u)$ . Admita, então, que existe caminho de  $\mathcal{P}^\sigma$  entre  $s$  e  $u$ . Seja  $P$  um de peso mínimo, ou seja,  $w(P) = \delta_\sigma(s, u)$ . Para todo vértice  $v$  de  $P$ , denote por  $P_v$  o subcaminho de  $P$  entre  $s$  e  $v$ . Seja  $x$  o vértice de  $P$ , mais longe de  $s$  nesse caminho, tal que  $P_x \in \mathcal{P}^\sigma$  e  $x \in R'_\zeta$ , para algum  $\zeta \in \{-, +\}$ . Tal vértice existe pois  $P_s \in \mathcal{P}^+$  e  $s \in R'_+$ . Além disso,  $x \neq u$ , pois  $P_u = P \in \mathcal{P}^\sigma$  e  $u \notin R'_\sigma$ , implicando  $P_u \notin \mathcal{P}^\sigma$  ou  $u \notin R'_\zeta$ , para todo  $\zeta \in \{-, +\}$ . Por conseguinte,  $w(P) \geq w(P_x)$ . Como  $P_x \in \mathcal{P}^\sigma$  e  $x \in R'_\zeta$ , podemos aplicar a hipótese de indução para obter  $w(P_x) \geq \delta_\zeta(s, x) = d_\zeta(x)$  e, portanto,  $w(P) \geq d_\zeta(x)$ .

Seja  $y$  o vértice seguinte a  $x$  em  $P$ . Assuma que  $xy \in E^+$  (o caso  $xy \in E^-$  é similar). Então,  $P_y \in \mathcal{P}^\sigma$ . Como  $y$  não satisfaz  $P_y \in \mathcal{P}^\sigma$  e  $y \in R'_\zeta$  (pois  $x$  é o vértice mais longe de  $s$ ), concluímos que  $y \in V \setminus R'_\zeta$ . Assim, quando  $x$  entra em  $R_\zeta$  (linha 12), então  $d_\zeta(y)$  é atualizado na linha 13, de modo que  $d_\zeta(x) \geq d_\zeta(y)$ . E essa desigualdade se mantém pela propriedade PNC. Finalmente, como  $u$  é escolhido para entrar em  $R_\sigma$  quando  $y \in V \setminus R'_\zeta$  também é candidato, temos que pelas linhas 8, 10 e 11 que  $d_\zeta(y) \geq d_\sigma(u)$ . Logo,  $d_\zeta(x) \geq d_\sigma(u)$ . Chegamos portanto a  $\delta_\sigma(s, u) = w(P) \geq d_\sigma(u)$ , ou melhor,  $d_\sigma(u) = \delta_\sigma(s, u)$ .  $\square$

### 3. Algoritmo para grafos não direcionados

Nesta seção admita que  $G$  é não direcionado, podendo ter ciclos negativos. Defina o grafo *par* de  $G$  como o grafo  $G_p$  obtido dividindo cada aresta positiva de  $G$  em duas arestas. Precisamente,  $V(G_p) = V(G) \cup \{v_e : e \in E^+(G)\}$  e  $E(G_p) = E^-(G) \cup \{(u, v_e), (v_e, v) : e = uv \in E^+(G)\}$ . Além disso,  $G_p$  é ponderado em arestas, sendo  $w_e$  o peso de cada aresta  $e \in E^-(G)$  e  $w_e/2$  o peso das arestas  $(u, v_e)$  e  $(v_e, v)$  para todo  $e \in E^+(G)$ . Dados  $u, v \in V(G)$ , existe uma correspondência biunívoca entre os  $uv$ -caminhos em  $G$  e  $G_p$ . Note que a paridade de um  $uv$ -caminho em  $G_p$  é a paridade do número de arestas negativas no  $uv$ -caminho correspondente em  $G$ . Além disso, o peso do primeiro caminho é igual ao peso do segundo. Esses fatos levam à seguinte equivalência:

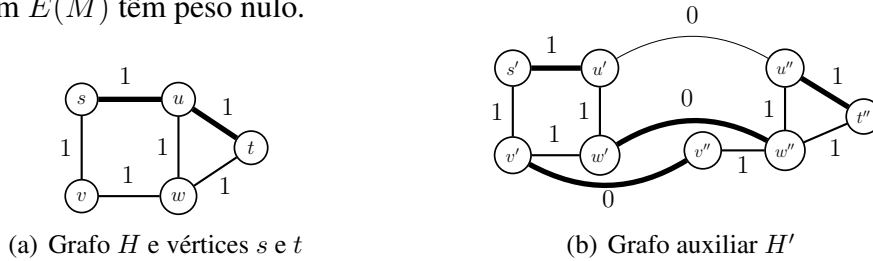
**Proposição 2.** *Determinar um  $st$ -caminho positivo de comprimento mínimo em  $G$  equivale a determinar um  $st$ -caminho par de peso mínimo em  $G_p$ .*

A partir da Prop. 2, mostramos a seguir que o problema em grafos não direcionados equivale a determinar um emparelhamento perfeito de peso mínimo, sendo portanto polinomial [Edmonds 1965a, Edmonds 1965b]. Para isso, considere um grafo  $H$  não direcionado, ponderado em arestas por  $\omega : E(H) \rightarrow \mathbb{R}_+$ , e dois vértices  $s$  e  $t$  de  $H$ . Para definir um  $st$ -caminho par de peso mínimo em  $H$ , vamos usar um grafo auxiliar  $H'$  construído a partir de uma cópia de  $H - s$ , uma cópia de  $H - t$  e arestas ligando os vértices correspondentes nas cópias. Precisamente,  $V(H') = V' \cup V''$  e  $E(H') = E' \cup E'' \cup \bar{E}$ , onde  $V' = \{v' : v \in V(H-t)\}$ ,  $V'' = \{v'' : v \in V(H-s)\}$ ,  $\bar{E} = \{(u', u'') : u \in V(H - \{s, t\})\}$ ,  $E' = \{(u', v') : (u, v) \in E(H), u, v \neq t\}$ ,  $E'' = \{(u'', v'') : (u, v) \in E(H), u, v \neq s\}$ . O peso

das arestas  $(u', v') \in E'$  ou  $(u'', v'') \in E''$  é  $\omega_{uv}$ , o mesmo da aresta equivalente  $(u, v)$  de  $H$ . As arestas  $(u', u'') \in \bar{E}$  tem peso zero. A Figura 1 mostra uma ilustração.

**Proposição 3** ([Lapaugh and Papadimitriou 1984]). *Um  $st$ -caminho par de peso mínimo em  $H$  é dado por um emparelhamento perfeito de peso mínimo em  $H'$ , e vice-versa.*

*Demonstração.* É suficiente mostrar que todo  $st$ -caminho par em  $H$  corresponde a um emparelhamento perfeito em  $H'$  de mesmo peso, e vice-versa. Primeiro, seja  $P = \langle s = v_0, v_1, \dots, v_{2p} = t \rangle$ ,  $p \geq 1$ , um  $st$ -caminho par em  $H$  com peso  $\omega(P) = \sum_{i=0}^{2p-1} \omega_{v_i v_{i+1}}$ . Defina  $M = \{(v'_{2i}, v'_{2i+1}) : i = 0, \dots, p-1\} \cup \{(v''_{2i-1}, v''_{2i}) : i = 1, \dots, p\} \cup \{(v', v'') : v \in V(H) \setminus V(P)\}$ . Observe que  $M$  é um conjunto de arestas disjuntas que cobrem todos os vértices de  $H'$ . Logo,  $M$  é um emparelhamento perfeito em  $H'$ . Além disso, tem peso  $\omega(M) = \sum_{i=0}^{p-1} \omega_{v'_{2i} v'_{2i+1}} + \sum_{i=1}^p \omega_{v''_{2i-1} v''_{2i}} = \sum_{i=0}^{2p-1} \omega_{v_i v_{i+1}}$ , igual ao peso de  $P$ . Agora, seja  $M$  um emparelhamento perfeito em  $H'$  com peso  $\omega(M)$ . Sejam  $E'(M)$ ,  $E''(M)$  e  $\bar{E}(M)$  as arestas de  $M$  que pertencem a  $E'$ ,  $E''$  e  $\bar{E}$ , respectivamente. Podemos mostrar que  $E'(M) \cup E''(M)$  induz um  $st$ -caminho  $P$  em  $H$ . Além disso,  $w(P) = w(M)$  pois as arestas em  $\bar{E}(M)$  têm peso nulo.  $\square$

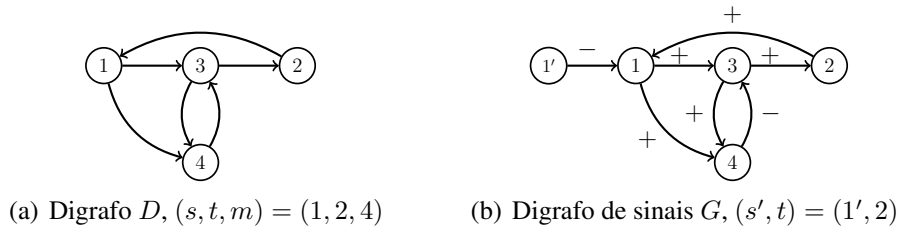


**Figura 1. Ilustração do grafo auxiliar  $H'$ . Arestas em negrito ilustram a Prop. 3.**

#### 4. NP-Completo em digrafos

Dados um digrafo  $D$  e vértices distintos  $s, t, m$  de  $D$ , decidir se existe um  $st$ -caminho em  $D$  tendo  $m$  com vértice intermediário é NP-Completo [Fortune et al. 1980]. Vamos reduzir tal problema para aquele de decidir se existe um  $st$ -caminho positivo em um digrafo de sinais. Dado que este problema está em NP, mostramos sua NP-Completo.

Dados  $D$  e  $s, t, m \in V(D)$ , construímos um digrafo de sinais  $G = (V(G), A(G))$  tal que  $V(G) = V(D) \cup \{s'\}$  e  $A(G) = A(D) \cup \{(s', s)\}$ . Os arcos da forma  $(m, v) \forall v \in V(G)$  e  $(s', s)$  têm sinal negativo; todos os outros arcos,  $(u, v) \in A(G) : u \neq m, u \neq s'$ , possuem sinal positivo. Veja Figura 2 para uma ilustração.



**Figura 2. Ilustração da redução.**

**Proposição 4.** *Existe  $st$ -caminho passando por  $m$  em  $D$  se, e somente se, existe  $s't$ -caminho positivo em  $G$ .*

*Demonstração.* Perceba que, no digrafo de sinais  $G$ , o primeiro arco de um  $s't$ -caminho é  $(s', s)$ , com sinal negativo. Com isso, todo  $s't$ -caminho positivo deve passar por  $m$  para ter uma quantidade par de arestas negativas. Por outro lado, removendo o vértice  $s'$  de um  $s't$ -caminho positivo temos um  $s, t$ -caminho passando por  $m$  no digrafo  $D$ .  $\square$

## Referências

- Albuquerque, F., Campêlo, M., and Figueiredo, T. (2022). O problema de formação de equipes com caminhos mínimos compatíveis: uma abordagem exata. *Anais do Simpósio Brasileiro de Pesquisa Operacional*, 54(152933):2965–1476.
- Cartwright, D. and Harary, F. (1956). Structural balance: a generalization of heider's theory. *Psychological Review*, 63(5):277–293.
- Edmonds, J. (1965a). Maximum matching and a polyhedron with 0, 1-vertices. *Journal of research of the National Bureau of Standards B*, 69(125-130):55–56.
- Edmonds, J. (1965b). Paths, trees, and flowers. *Canadian Journal of mathematics*, 17:449–467.
- Fortune, S., Hopcroft, J., and Wyllie, J. (1980). The directed subgraph homeomorphism problem. *Theoretical Computer Science*, 10(2):111–121.
- Guler, B., Varan, B., Tutuncuoglu, K., Nafea, M., Zewail, A. A., Yener, A., and Oceau, D. (2014). Optimal strategies for targeted influence in signed networks. In *IEEE/ACM International Conference on Advances in Social Networks Analysis and Mining (ASO-NAM 2014)*, pages 906–911.
- Guler, B., Varan, B., Tutuncuoglu, K., Nafea, M., Zewail, A. A., Yener, A., and Oceau, D. (2015). Using social sensors for influence propagation in networks with positive and negative relationships. *IEEE Journal of Selected Topics in Signal Processing*, 9(2):360–373.
- Heider, F. (1946). Attitudes and cognitive organization. *The Journal of psychology*, 21(1):107–112.
- Kouvatis, I., Semertzidis, K., Zerva, M., Pitoura, E., and Tsaparas, P. (2020). Forming compatible teams in signed networks. In *Proceedings of the 23rd International Conference on Extending Database Technology (EDBT)*, pages 363–366. OpenProceedings.org.
- Lapaugh, A. S. and Papadimitriou, C. H. (1984). The even-path problem for graphs and digraphs. *Networks*, 14(4):507–513.